

SPring-8利用推進協議会 研究開発委員会
2014年7月4日

グリーンサステイナブルケミストリー研究会(第2回) －エネルギー関連材料の現状と未来－

水の可視光分解用光触媒の開発

堂免一成

東京大学大学院工学系研究科
化学システム工学専攻

講演内容

[1] 太陽エネルギーと人工光合成

[2] 微粒子光触媒による水分解

[3] 光電気化学的水分解
(光触媒シートの開発)

- ・TaON微粒子多層膜
- ・粒子転写法(PT法)による単粒子膜
- ・ナノロッド薄膜

[4] 今後の展望

太陽エネルギー量(J / 年)

・ 地球表面への供給量	3.0×10^{24}
・ 人類のエネルギー消費量	5.5×10^{20}
・ 地球上の光合成量	3.0×10^{21}

地球上の太陽エネルギーの約0.02%
を捕らえればよい。

太陽エネルギーを将来の主要な一次エネルギー源と考えるならば…

- ・超大面積に展開可能な技術

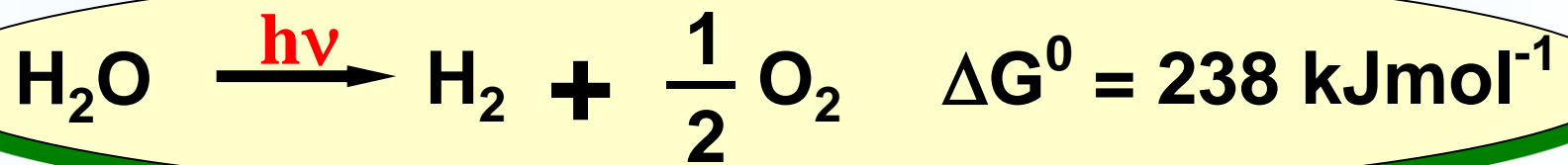
例えば2050年になんかの消費エネルギーの
1/3を太陽エネルギーで賄うと仮定し、

1つの太陽エネルギー変換プラントを
 $5 \text{ km} \times 5 \text{ km} = 25 \text{ km}^2$ とすると

約10,000個つくる必要がある。

- ・輸送・貯蔵可能なエネルギー形態

水素・メタノール・アンモニア等の化学物質



- ・太陽電池 + 電気分解
- ・太陽熱発電 + 電気分解
- ・人工光合成

→ ・光触媒

→ ・光電気化学

無機半導体

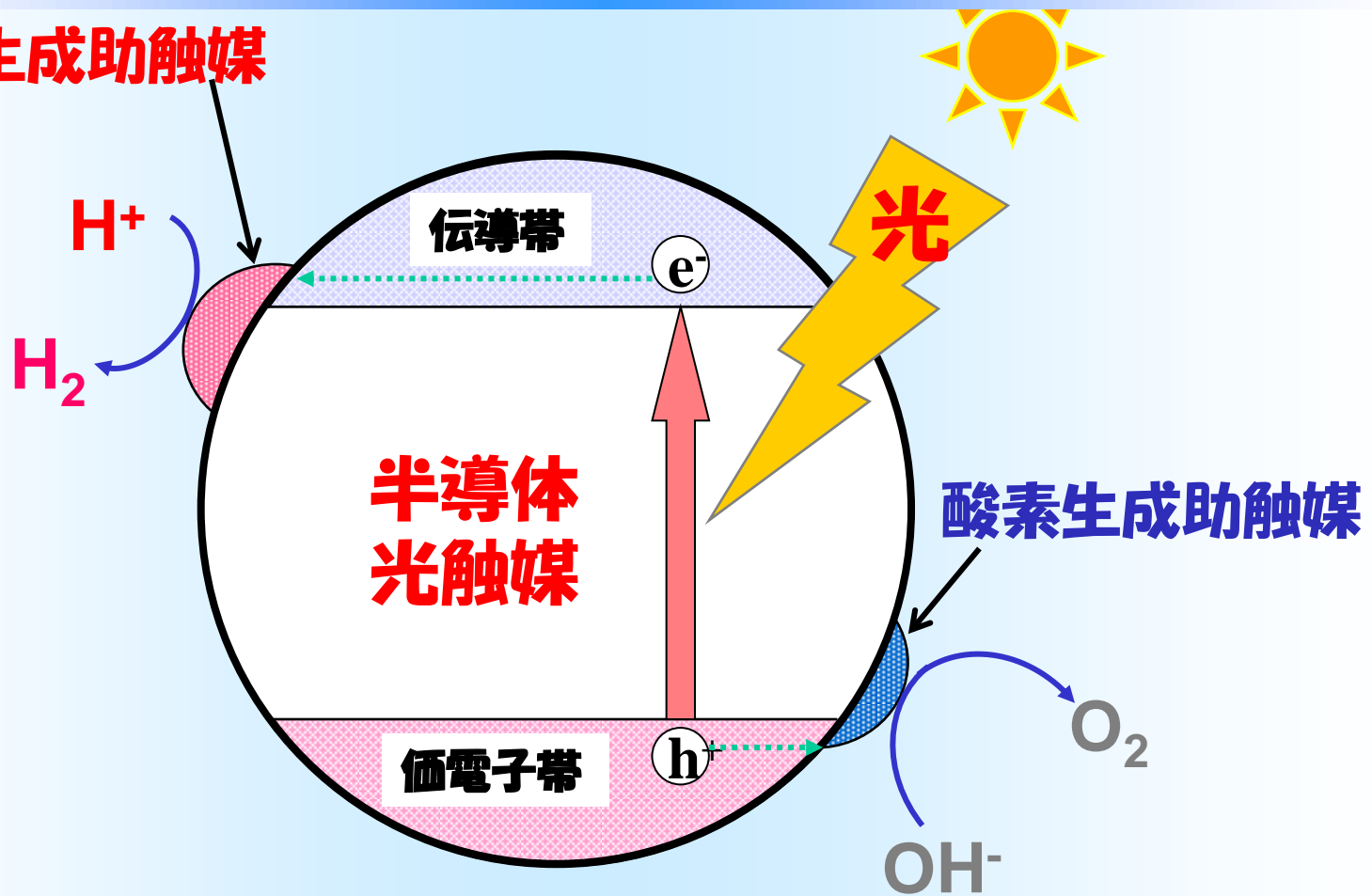
金属錯体

有機化合物・高分子化合物

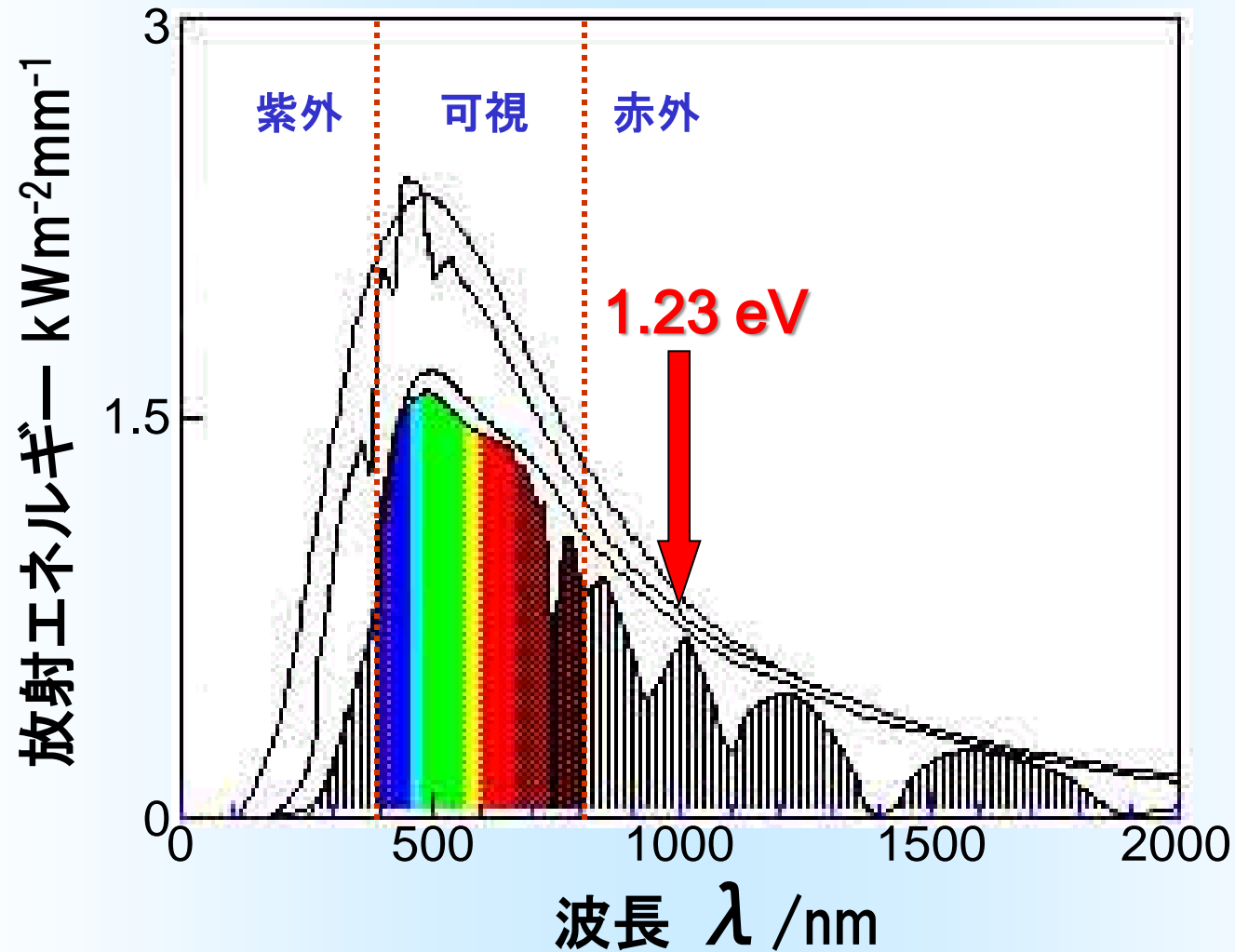
バイオ系材料

水分解光触媒の模式図

水素生成助触媒



太陽エネルギーの分布



種々のオキシサイトライド



Oxide

CaLaTiON

$\text{Li}_2\text{LaTa}_2\text{O}_6\text{N}$

SrTaO_2N

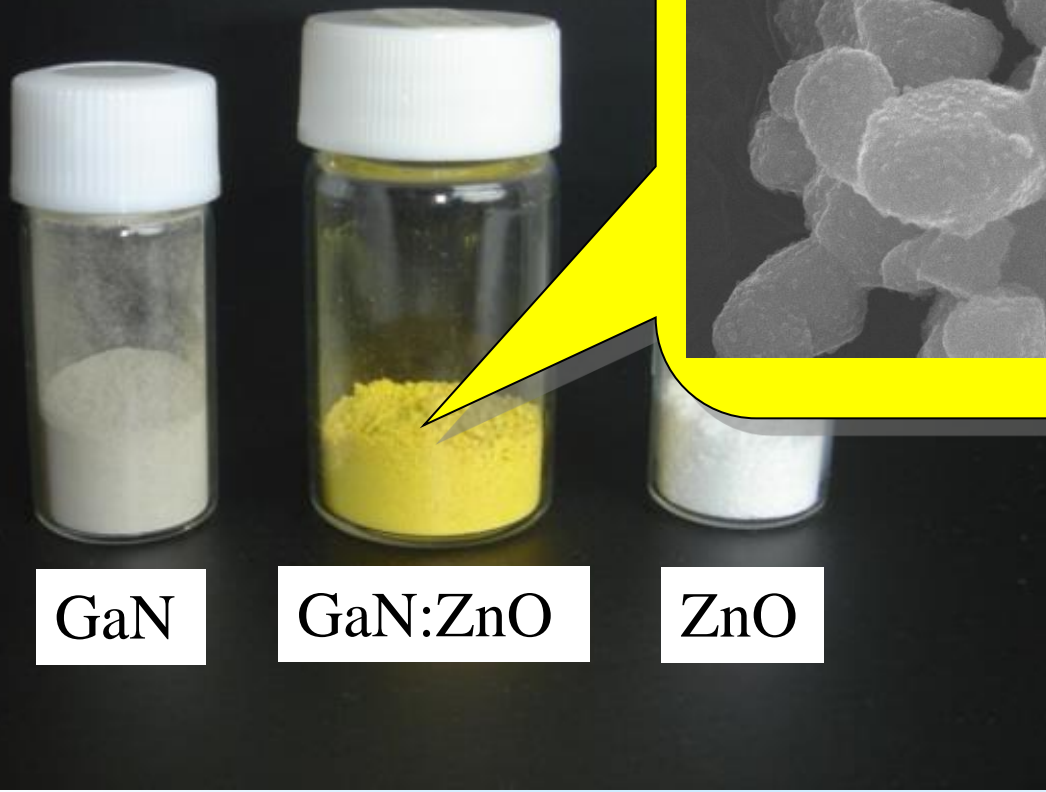
LaTiO_2N

LaTaON_2

Ta_3N_5

BaTaO_2N

GaN:ZnO 固溶体



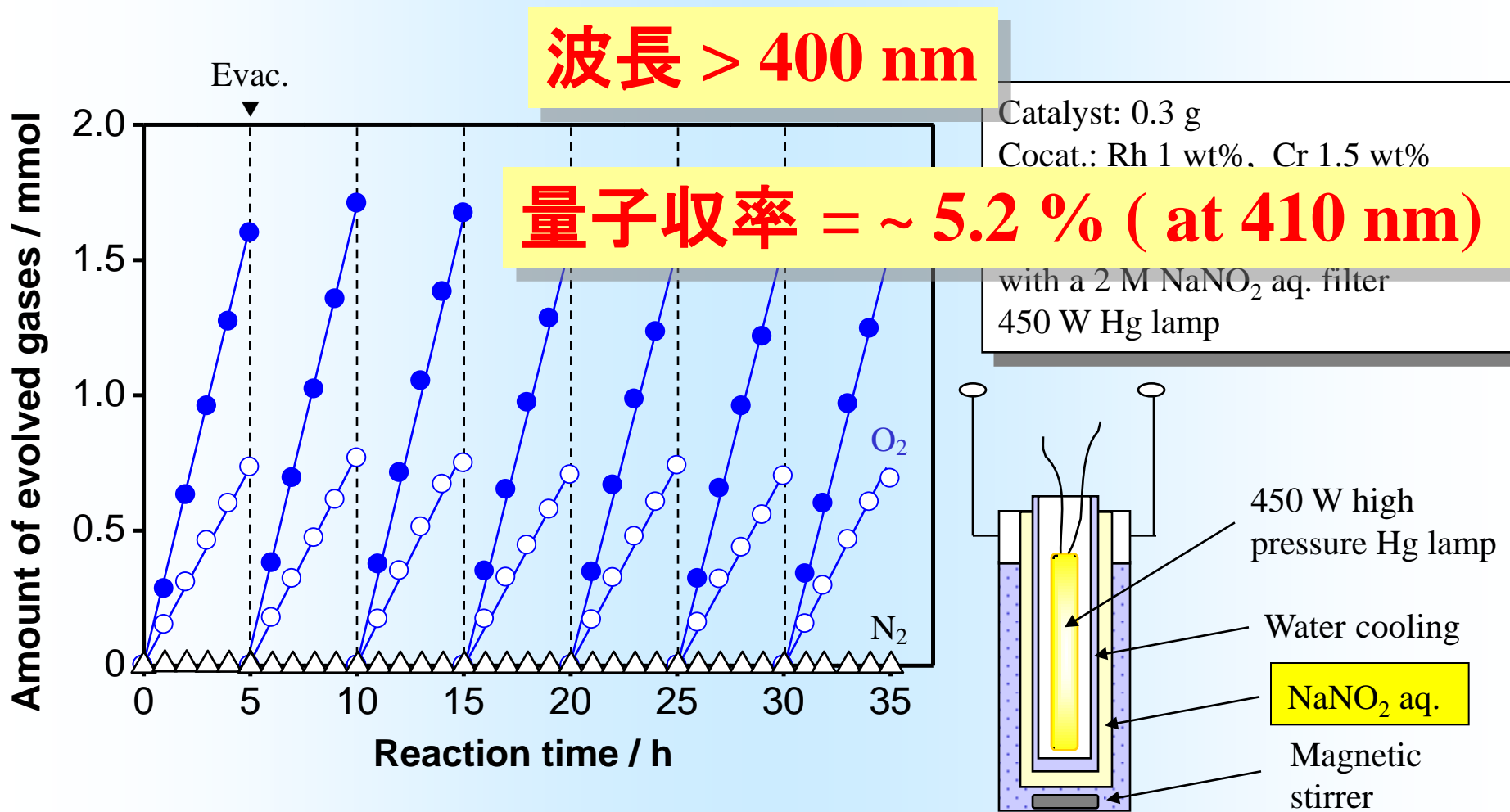
RuO₂ : 3.5 wt%

1 μm



Chemical System Engineering
The University of Tokyo

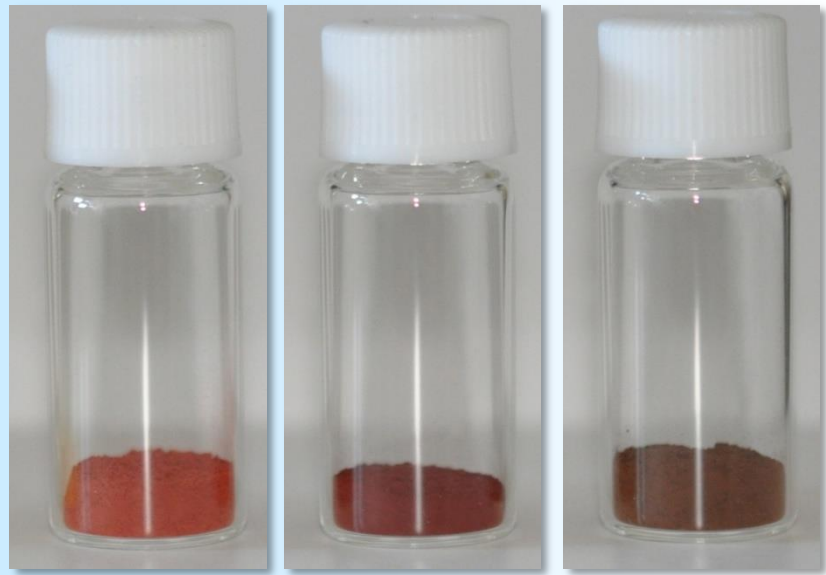
Rh-Cr oxide/GaN:ZnO光触媒による水の分解反応



Various (oxy)nitride photocatalysts



GaN:ZnO



Ta₃N₅ BaTaO₂N LaTiO₂N

≤ 500 nm

Typical element containing
oxynitrides: d¹⁰-type



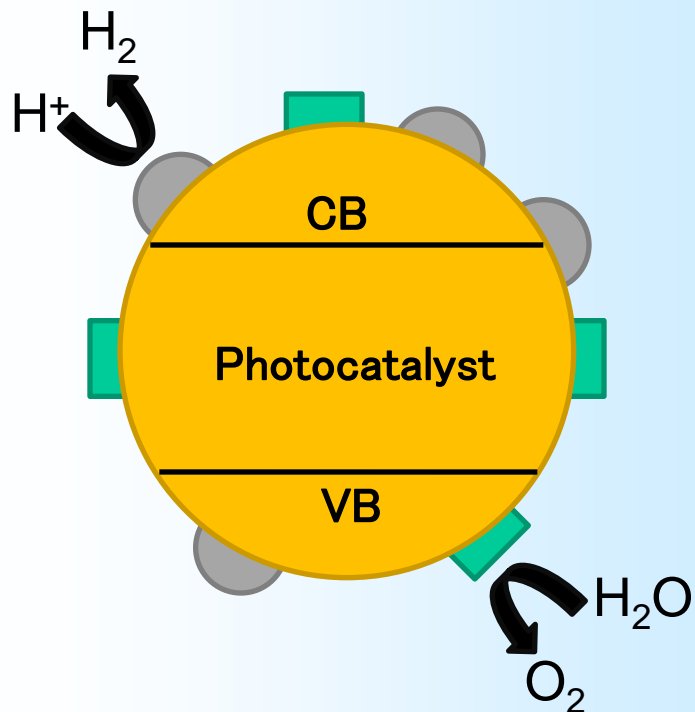
≥ 600 nm

Transition metal containing
oxynitrides: d⁰-type



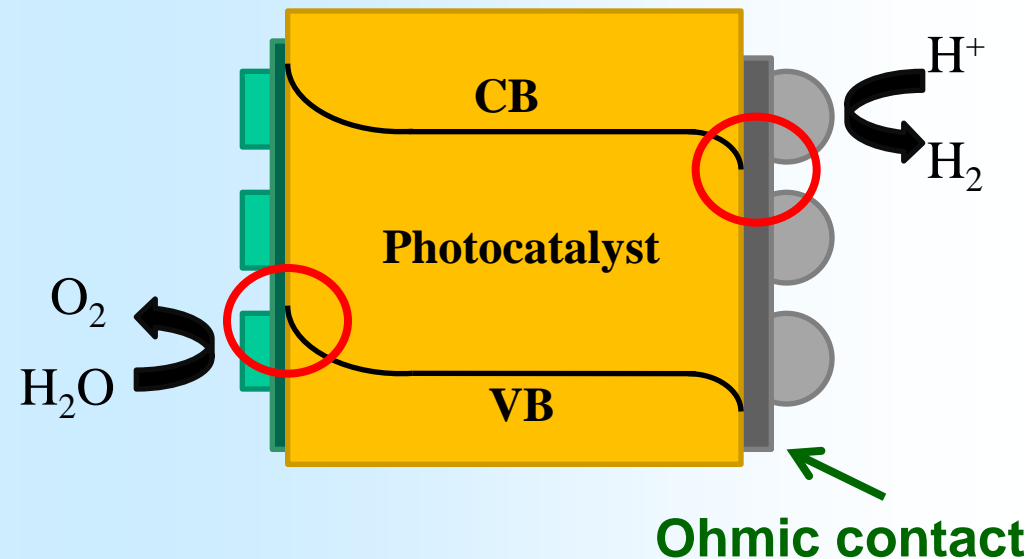
How to improve quantum efficiency?

Conventional



Random migration
of excited carriers

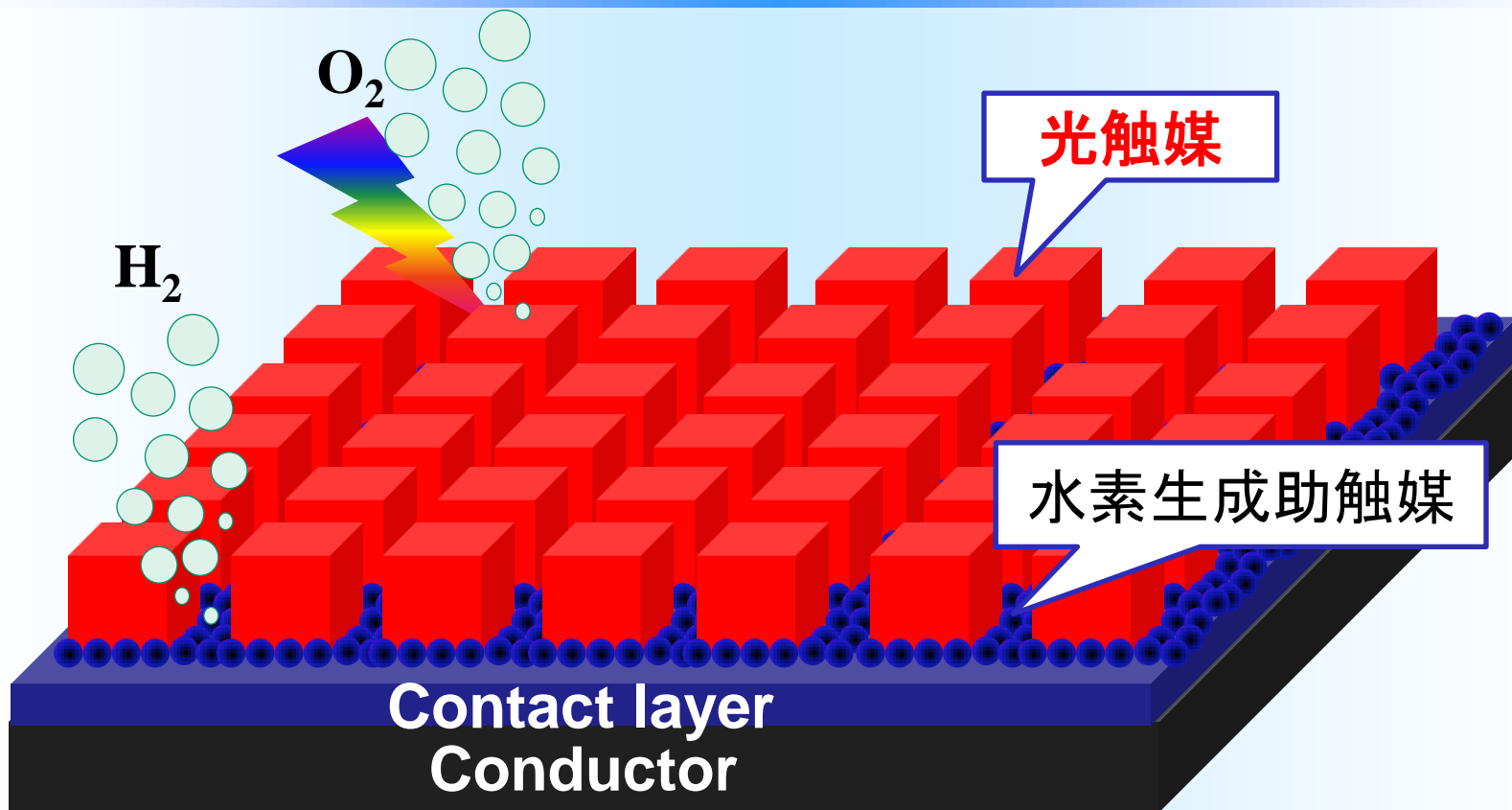
Anisotropic



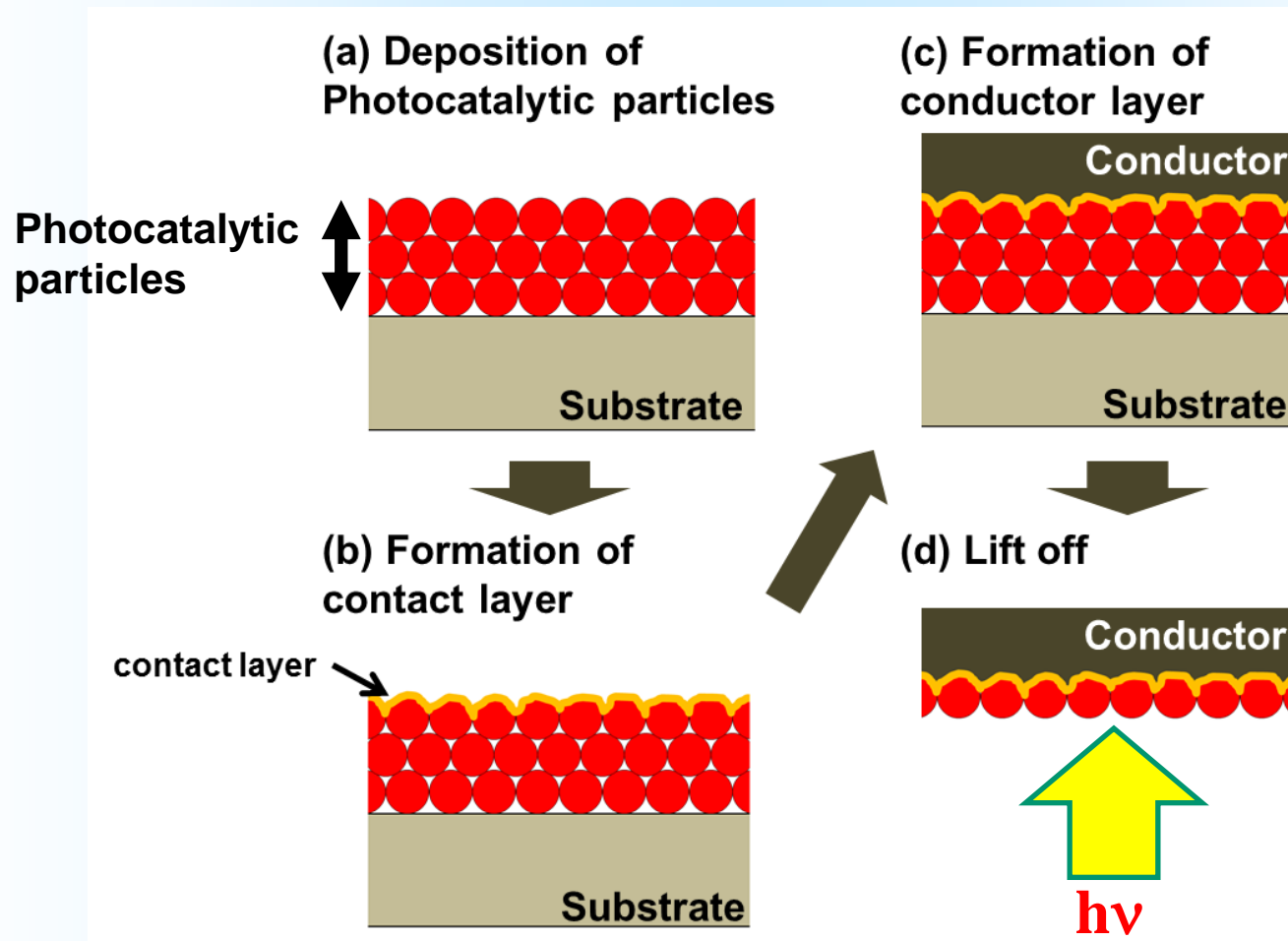
Vectorial transportation
of excited carriers



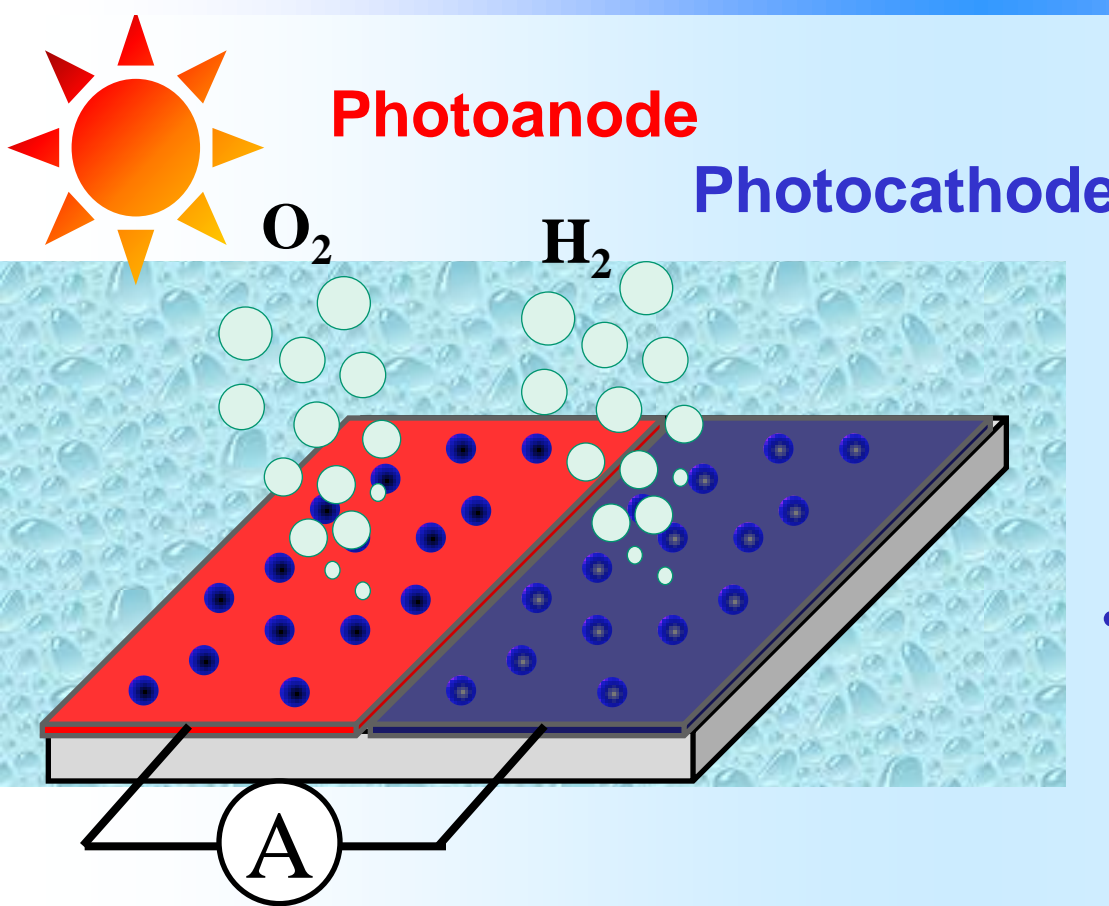
1段階水分解光触媒シート(ハイブリッド型)



粒子転写法: Particle transfer (PT) method

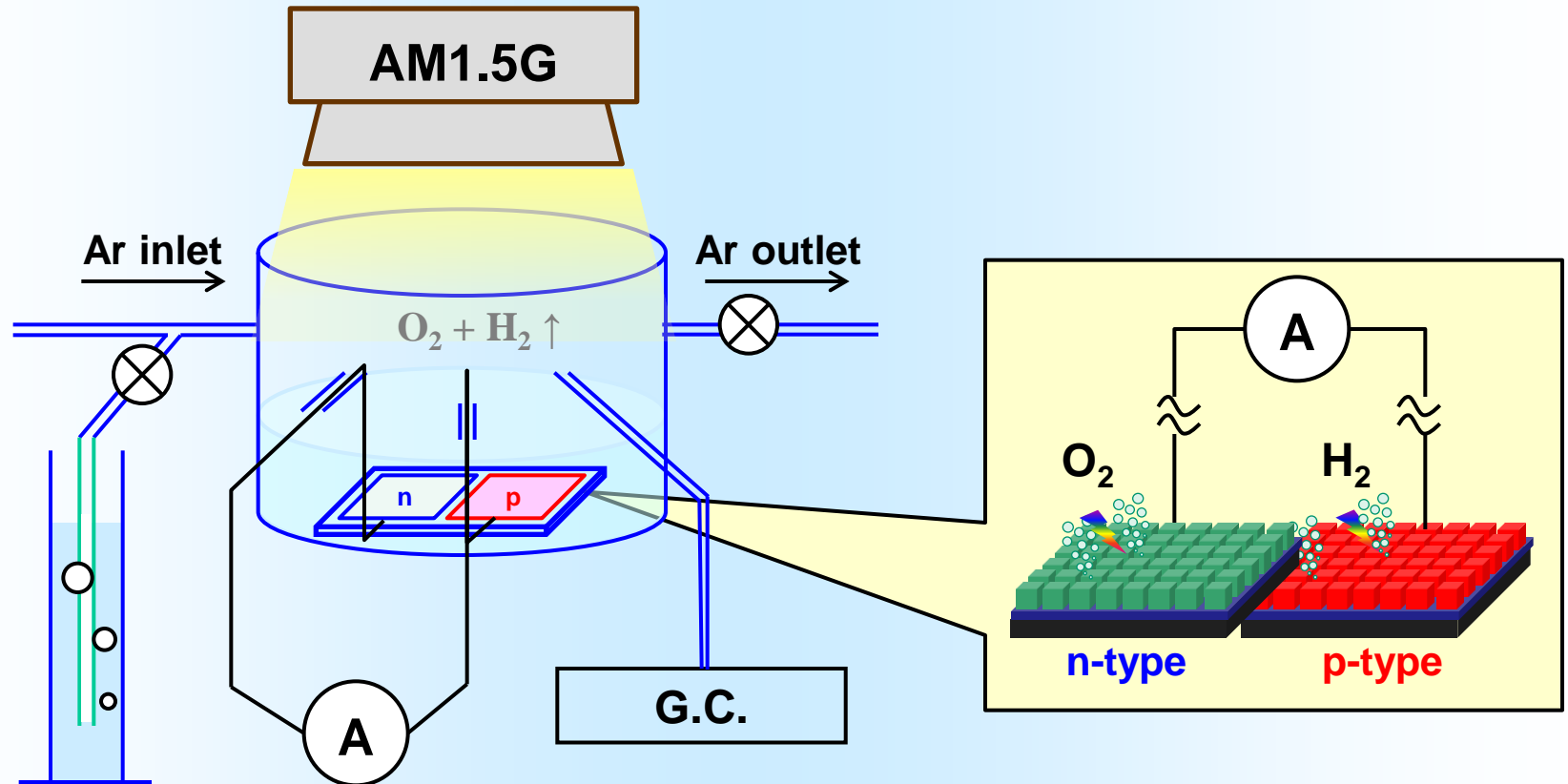


Two-step water splitting system



- Photoanode : O_2 evolution
 $BaTaO_2N$
 $\lambda \leq 650 \text{ nm}$
- Photocathode: H_2 evolution
 $La_5Ti_2CuO_7S_5$
 $\lambda \leq 670 \text{ nm}$

Reactor for two-step water splitting system



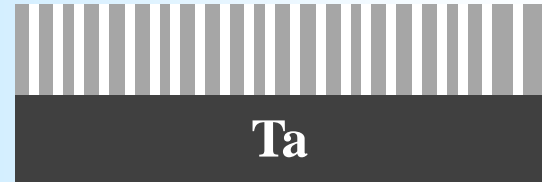
Fabrication process

Evaporated Al layer



Al anodization

Porous anodic alumina (PAA)



Nitridation

Dip in $\text{Ba}(\text{NO}_3)_2$

Ta_3N_5 nanorods

Dip in $\text{Ba}(\text{NO}_3)_2$

Ta anodization



Removing PAA mask



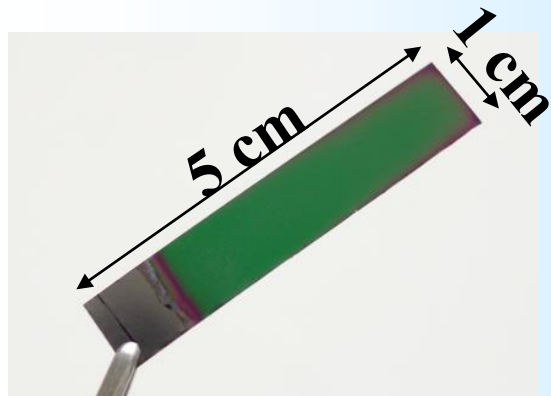
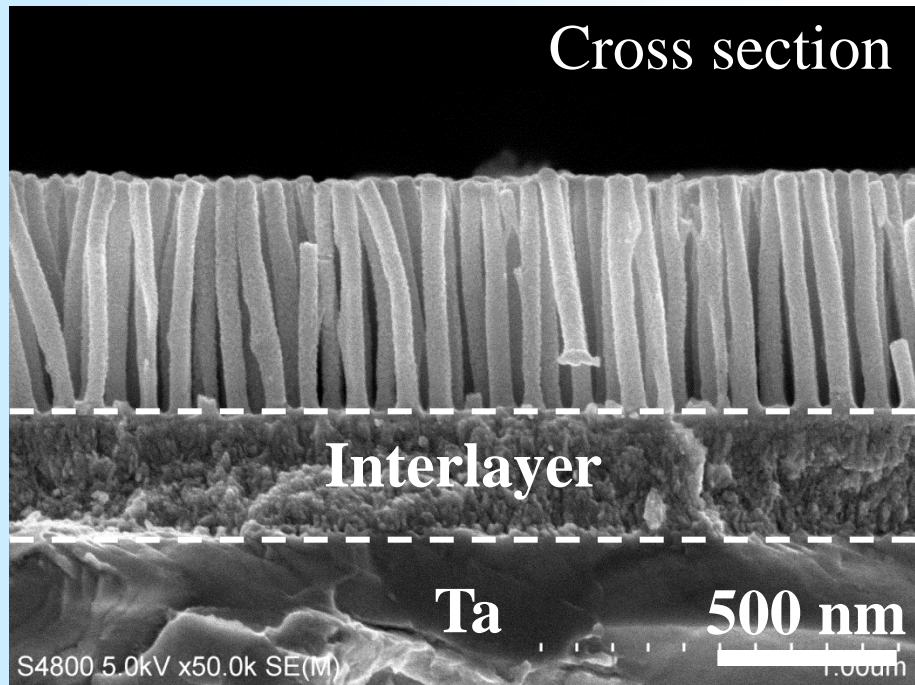
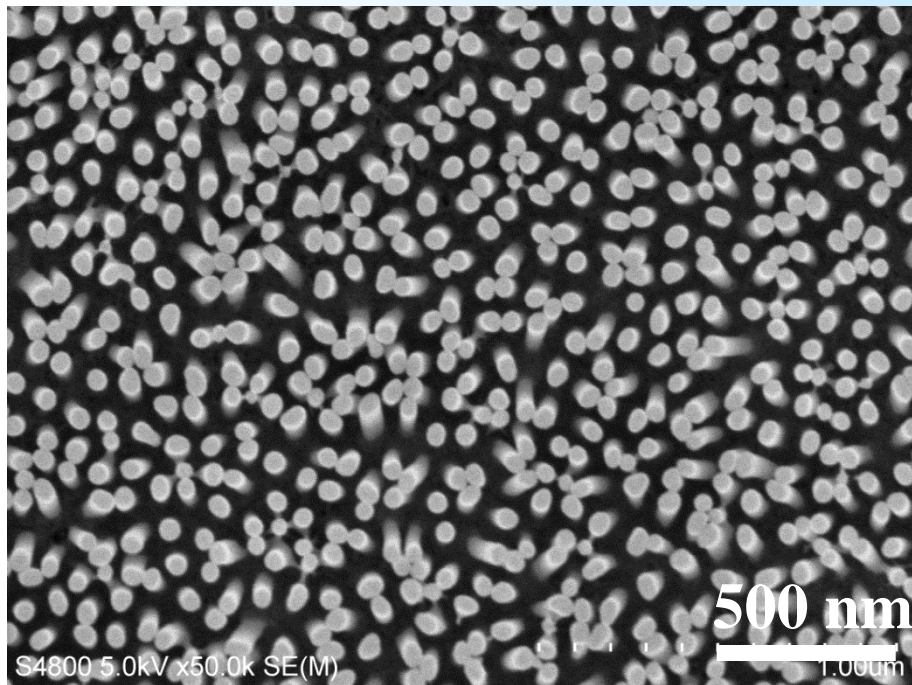
Vertically aligned Ta_2O_5 nanorods

Ta_2O_5 nanorods embedded in PAA mask



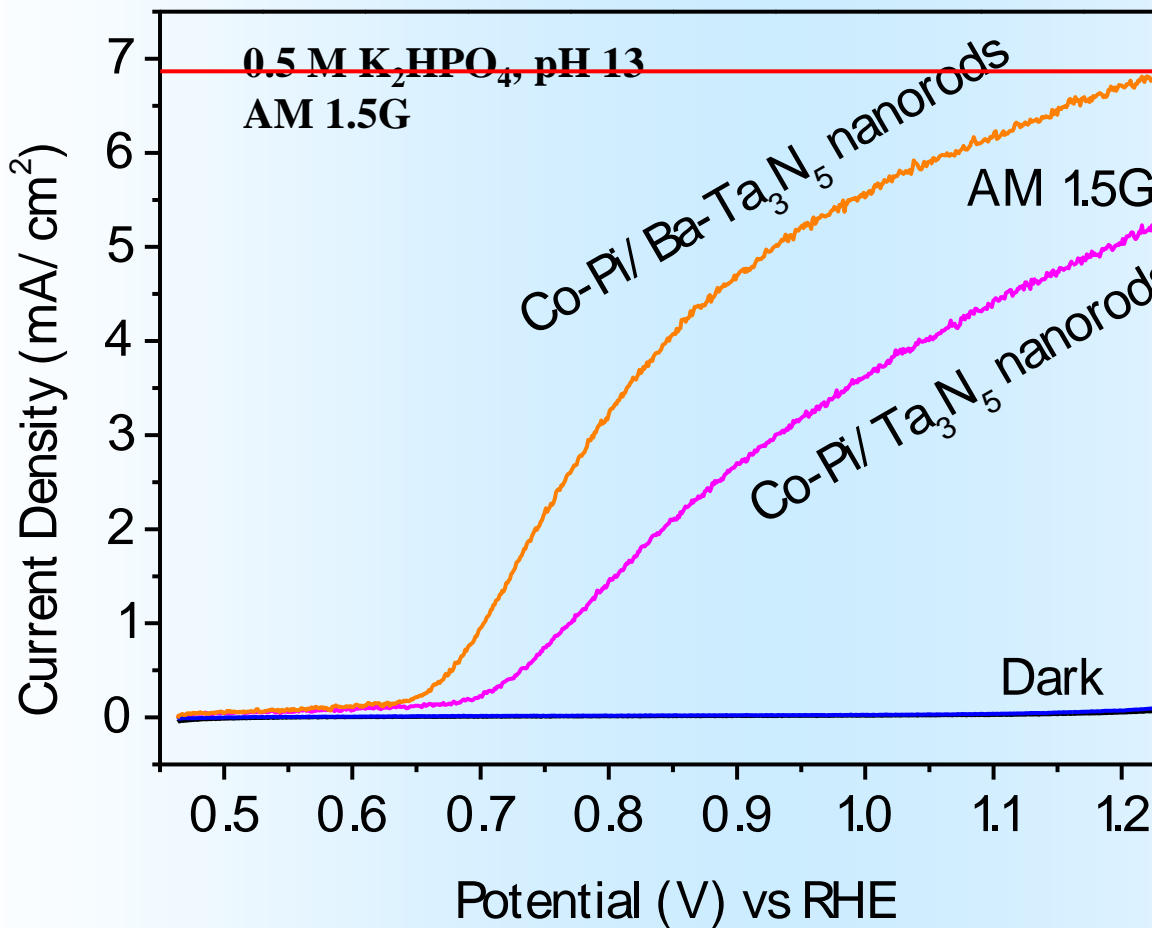
Chemical System Engineering
The University of Tokyo

SEM images of the Ta_3N_5 nanorods



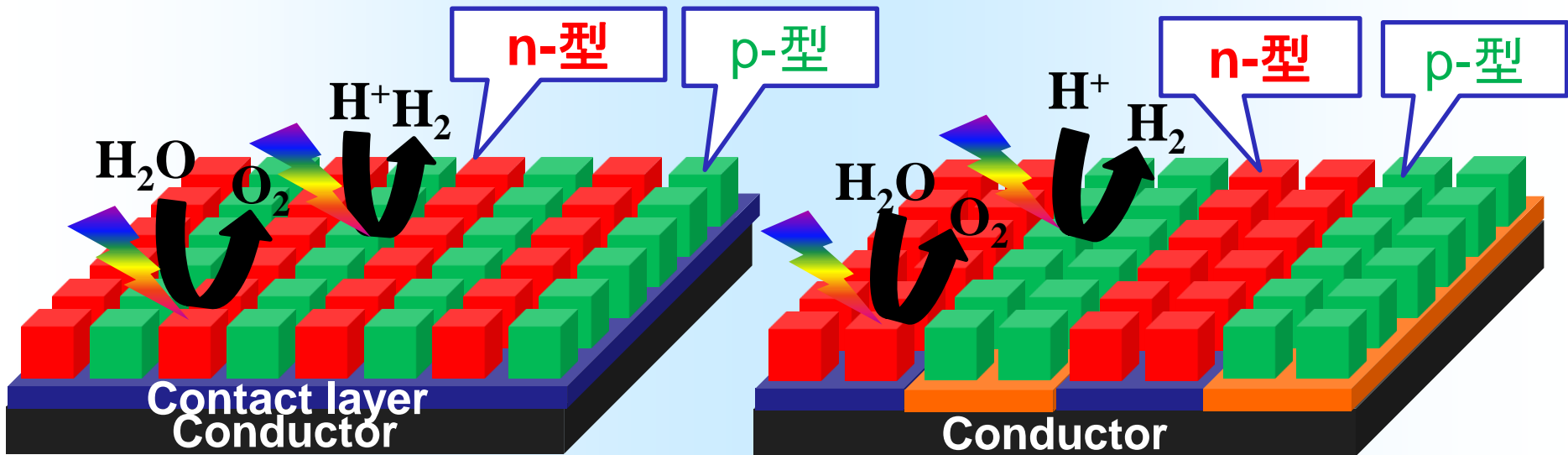
- Diameter: ~60 nm, length: ~600 nm
- Nanorod areal density: $\sim 1.2 \times 10^{10} \text{ cm}^{-2}$
- Nanorod areal fraction: ~33%
- Large-scale: 1 × 4 cm

Effect of Ba-doping on PEC results



- Cathodic shift
of onset potential

2段階水分解光触媒シート(ハイブリッド型)



単一の材料での接合

各光触媒に最適な接合・配置

太陽エネルギー変換効率10%は可能か？

面積比:n型(700 nm):p型(850 nm) = 2 : 1

$$\rightarrow \phi = 55\%$$

n-型: $BaNbO_2N$ p-型: La-Ti-Cu系カルコゲナイト